

フロッキングを伴う網型待ち行列モデルの 数値解アルゴリズム

筑波大学 逆瀬川浩孝

Hirota ka Sakasegawa

1. はじめに

一人の客が任意複数箇所のサービスを受けるという現象を解析するための数学モデルとして、網型待ち行列モデルがある。円型あるいは円型のネットワークの各ノードが一つの待ち行列モデルになっていて、客はパスに沿って与えられた規則で移動しながら各ノードの窓口でサービスを受ける、というものである。

この型のモデルの成功例は Jackson (1963) と Baskett et al. (1975) である。後者の云々ゆる BCMP モデルは前者の一般化で、定常状態における各ノードの滞在客数の同時分布が積形式になることにより、特徴付けられている。これは、ノード間の推移が一切の状況と独立に、確率的に行われることと、各ノードでのサービスは、そのノードに客がいれば、他のノードの様子に全く影響されない、という二つの基本的な仮定

に基づくものである。

後者の仮定は、各ノードの待ち合の容量に制約がないことを意味するが、実際の現象では、制約のあるのが普通である。その結果、あるノードでのサービスは、他のノードの混雑具合によつて影響を受け、サービスの効率を低下させることになる。サービスされるべき客がいるにも関わらず、他のノードが混雑している等の理由で、窓口がサービスとしない(できない)状態を、その窓口はブロックされている、と言う。

ブロッキングを伴う待ち行列モデルとしては、ノードが線状に配置された直列型モデルについて、Hunt (1956) 以来、多くの解析がなされているが、一般の網型モデルについては、放置されたままになっている。網型モデルの最大の難点はシステムのデッドロックと呼ばれる現象の取り扱いである。いくつかの窓口が同時にブロックされ、その状態を解除する手段が存在しない、という状態を(システム)デッドロックと呼ぶ。各ノードでのサービス時間が互いに独立であるようば普通の網型モデルを考えた場合、閉じたパス(ループ)があり、そのループ上の各ノードの待ち合の容量がすべて有限で、ループの外から客の到着がある、という条件が揃うと、デッドロック状態を避けることができない。このような

条件は、ごく一般的なものである。テッドロフは、システムのいわば吸収状態であるから、興味のある結果は定常に達する前の過渡的状態の解析を通してしか得られぬ。これか、フローキープを伴う網型モデルの解析が余りなされぬことの最大の原因であろう。

この小論では、システムテッドロフを避けるために、ループを持たぬ網型モデルをとりあげ、その定常状態でのふるまいを解析する。例えば、図1のようなモデルである。待ち合の室容量が有限であるという点を除いて他はすべてBCMPモデルと同じ仮定をおいたとしても、このモデルの定常解は積形式解のようにはならず、個々の同時確率を求めることによつてしか得られぬ。したがって、これらを求めるためには、大きな次元の連立方程式(平衡方程式)を数値的に解くことが必要になる。これは普通反復法によつて解かれるが、次元が大きくなると、かなり能率が悪くなるため、その収束を速めるためにさまざまな工夫が考案されている。ここでは条件付確率法とも呼ばれる方法(Takahashi et al. (1976))をとり入れ、収束の加速をはかっている。

以下、2節で、この小論で扱うモデルおよび記号の説明を行い、3節で、数値的アルゴリズムを提示する。4節では、若干の数値例を述べる。

2. モデル

K 個のノードからなるネットワークを考える。各ノードに単一窓口と、容量 $N_k - 1$ の待ち合室がある。客はパラメータ λ のポアソン過程にしたがってこの系に到着し、確率 p_{0k} で k ノードへ行く。もし、 k ノードに N_k 人の客がすでに滞在しているならば、新たな到着客は（何もサービスされないで、系から）退去する。これを、客の損失という。客に対する k ノードでのサービスは先着順で行われ、時間は平均 $1/\mu_k$ の指数分布に従う。サービス開始時点で、その客の行先ノードを確率分布 $\{p_{kj}\}_{j=0,1,\dots,K}$ によつて決定する。但し、ノード番号 0 は退去を表すものとする。サービス終了後、あらかじめ決められた番号のノードへ進む。

あるノードで、新たな客の到着によつて待ち合室一杯

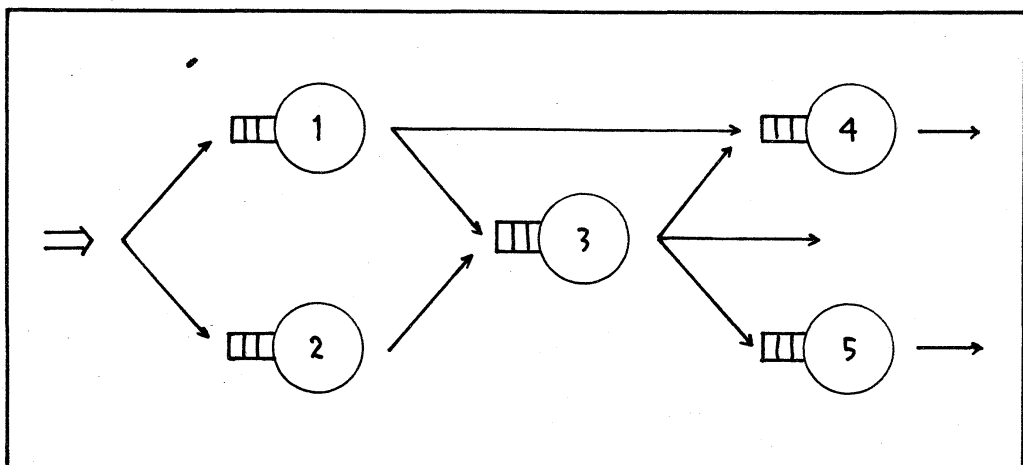


図.1 ネットワークを伴う網型待ち行列モデル

には、 t 時、そのノードを目標系統への客のサービスは中断（停止）され、それらの窓口はフロックされる。フロック状態は、そのノードのサービスが終了し、待ち合室に一つの空き窓が空くまで続く。

時刻 t における k ノードの客数、及びサービス中の客の行先ノード番号をそれぞれ $M_k(t)$, $T_k(t)$ で表す。定常状態におけるこれらの量をそれぞれ M_k , T_k で表す。

3. 解析

前節で定義されたモデルの定常状態でのふるまいを調べるのが目的である。モデルに含まれる確率要因のマルコフ性から、 $(M_1(t), T_1(t), M_2(t), T_2(t), \dots, M_k(t), T_k(t))$ ($= (M_k(t), T_k(t))_k$ と書く) は非周期的マルコフ過程で、定常分布が存在し、その分布は、生成作用素を係数行列とする連立方程式の解として得られることがわかる。解は、積形式解のように陽には表せないので数値解法に頼らざるを得ない。その問題は、

$$(1) \quad \text{与えられたパラメータ } (K, \lambda, (\mu_k), (N_k), (p_{jk}))$$

から生成作用素 A をどのようにして生成するの。

$$(2) \quad \text{次元の連立方程式}$$

$$(3.1) \quad \pi A = 0, \quad \pi \xi = 1 \quad (\xi \text{ は } \sum_{i=1}^2 1 \text{ のベクトル})$$

をいかにして解くか。

の2つである。

先ず、方程式の(行列 A の)次元を求める。このマルコフ過程の状態集合を S とし、 S の部分集合 S_n ($n=0, 1, \dots, N$; 但し、 $N = \sum_k N_k$) を次で定義する。

$$S_n = \{ (n_k, t_k)_{k \in S} ; \sum_k n_k = n \}$$

S_n は系内に n 人の客がいる状態をすべて集めたもので、お互いに排反で、すべて集めると S になる。 S_n の要素の個数は次の関数 $g(\cdot, \cdot)$ を使って $g(k, n)$ と表される。

$$g(1, n) = \begin{cases} 1 & (n=0) \\ r_1 & (0 < n \leq N_1) \\ 0 & (\sum n_k \text{ 以外の } n) \end{cases}$$

$$g(k, n) = \begin{cases} g(k-1, n) + r_k \sum_{j=1}^{N_k} g(k-1, n-j) \\ (0 \leq n \leq \sum_{j=1}^k N_j) \\ 0 & (\sum n_k \text{ 以外の } n) \end{cases}$$

但し、 r_k は $P_{kj} \neq 0$ とする j の個数。

したがって、方程式の次元 $|S|$ は、 $g(k, 0) + g(k, 1) + \dots + g(k, N)$ で与えられる。

次に S_n の要素に対し、辞書的順序の意味で整列させる(通し番号を振る)関数 h_n を次のように定義する。

$$h_n: S_n \longrightarrow \{0, 1, 2, \dots, g(k, n) - 1\}$$

$$h_n((n_R, t_R)_R) = \langle t_1 \rangle$$

$$+ \sum_{k=2}^K \left\{ \sum_{j=0}^{n_{k-1}} r_{k-1}(j) g(k-1, m_{k-1}-j) + \langle t_k \rangle g(k-1, m_{k-1}) \right\}$$

但し、 $\langle t_k \rangle$ は $p_{kj} \neq 0$ となる j を小さい順に並べ

て 0 から r_{k-1} まで番号を付し $r=0$ 時の t_k の番号、

$$r_k(j) = 1 \quad (\text{if } j=0), \quad = r_k \quad (\text{if } j>0),$$

$$m_R = n_1 + n_2 + \dots + n_R \quad \text{とする。}$$

h_n の逆関数。すなわち、 \mathcal{X}_n の辞書的順序の意味で m 番目の要素 (状態ベクトル) を生成する関数は下のよき手続きによき定義される。

$$h_n^{-1} : \{0, 1, 2, \dots, g(k, n) - 1\} \rightarrow \mathcal{X}_n$$

input x ; output $(n_R, t_R)_R$;

$m := x$; $l := n$; $k := K$;

repeat

if $m < g(k-1, l)$ then $\{n_R := 0 ; t_R := 0\}$

else $\{n_R := \min_j (m - \sum_{i=0}^{j-1} r_j(i) g(k-1, l-i) < 0)$;

$$\langle t_R \rangle := \left[\frac{m - \sum_{i=0}^{j-1} r_j(i) g(k-1, l-i)}{g(k-1, l-j)} \right]_{\text{Gauss}} ;$$

$m := m - \sum_{i=0}^{j-1} r_j(i) g(k-1, l-i) - \langle t_R \rangle g(k-1, l-j)$;

$l := l - n_R$; $k := k - 1$ }

until $k = 1$;

$n_1 := l$; $\langle t_1 \rangle := m$.

このように定義された h_n を使って S_n の要素を自然な順序で並べ、 S 全体も S_n の自然な順序に従って並べておけば、生成作用素 A は次のような特徴を持つことになる。すなわち S_n に対応させた A を小行列に分解して考えると、小行列を要素とする行列の意味で三重対角：

$$A = \begin{bmatrix} P_0 & Q_0 & & & & \\ R_1 & P_1 & Q_1 & & & 0 \\ & R_2 & P_2 & Q_2 & & \\ & & & \ddots & \ddots & \\ 0 & & & & R_{N-1} & P_{N-1} & Q_{N-1} \\ & & & & & R_N & Q_N \end{bmatrix}$$

となり、特に主対角行列 P_n は上三角行列となる。 A の非0要素は、例之ば、 $(n_k, t_k)_k$ から $(n_{k'}, t_{k'})_{k'}$ へ rate α で推移する可能性があるならば、

$$a_{jk} = \alpha$$

$$j = h_n((n_k, t_k)_k) + \sum_{l=0}^{n-1} g(k, l), \quad n = \sum n_k$$

$$k = h_{n'}((n_{k'}, t_{k'})_{k'}) + \sum_{l=0}^{n'-1} g(k, l), \quad n' = \sum n_{k'}$$

とすればよく、 $h_{n'}$ を使えば、 A の非0要素を規則的に生成していくことができる。

次に、 A を係数行列とする平衡方程式を数値的に効率的に解く方法を考へる。このマルコフ過程の定常分布 π も、 A の

分解に対応して

$$\pi = (\pi_0, \pi_1, \dots, \pi_N)$$

π_n は $g(K, n)$ 次元ベクトル

と書く。なお、定常方程式 (3.1) は、

$$(3.2) \quad \pi_{n-1} Q_{n-1} + \pi_n P_n + \pi_{n+1} R_{n+1} = 0 \quad (n=0, 1, \dots, N)$$

$$\text{且し, } Q_{-1} = 0, R_{N+1} = 0$$

となる。これを満足する π_n は

$$\pi_n^{(k+1)} = -(\pi_{n-1}^{(k+1)} Q_{n-1} + \pi_{n+1}^{(k)} R_{n+1}) P_n^{-1}$$

又は

$$\pi_n^{(k+1)} = -\pi_{n-1}^{(k+1)} Q_{n-1} + \pi_n^{(k)} (I - P_n) - \pi_{n+1}^{(k)} R_{n+1}$$

によつて求める。と云ふ事は、実際は計算して見ると収束が極めて遅い。そこで二条行付分布を計算する次の方法を用い、

と云ふ事は、すなわち

$$p_n = P \{ (M_k, T_k) \in \mathcal{S}_n \}$$

$$(3.3) \quad \tau_n = \frac{1}{p_n} \pi_n$$

とおくと、(3.2)式は

$$(3.4) \quad \frac{p_{n-1}}{p_n} \tau_{n-1} Q_{n-1} + \tau_n P_n + \frac{p_{n+1}}{p_n} \tau_{n+1} R_{n+1} = 0$$

と書ける。一方 A の行和が 0 であること:

$$R_n \xi + P_n \xi + Q_n \xi = 0$$

と、(3.2)式とから

$$\pi_{n-1} Q_{n-1} \xi = \pi_n R_n \xi$$

が導かれる。

$$(3.5) \quad \frac{p_{n-1}}{p_n} = \frac{\tau_{n-1} Q_{n-1} \xi}{\tau_n R_n \xi}$$

が得られる。したがって適当な $\{\tau_n\}$ の初期値から出発し、

(3.5) 式を用いて $\{\frac{p_{n-1}}{p_n}\}$ を計算し、これを (3.4) 式に代入して新しい $\{\tau_n\}$ を求める。この操作を繰り返せば (3.4) 式を満たす $\{\tau_n\}$, $\{\frac{p_{n-1}}{p_n}\}$ を求めることができる。 $\{p_n\}$ は正規化条件を用いて $\{\frac{p_{n-1}}{p_n}\}$ から計算できるから、この $\{p_n\}$ と $\{\tau_n\}$ を使えば、(3.3) 式から $\{\pi_n\}$ が求まる。これから一連の計算手順をまとめると以下のようになる。

アルゴリズム

step. 1 (初期値設定)

$$\tau_n^{(0)} := 1 / q(k, n) \quad (n = 0, 1, \dots, N),$$

$$\alpha_n^{(0)} := \tau_n^{(0)} Q_n \xi \quad (n = 0, 1, \dots, N-1),$$

$$\beta_n^{(0)} := \tau_n^{(0)} R_n \xi \quad (n = 1, 2, \dots, N),$$

$$k := 1.$$

step. 2 (k 回目の反復計算)

$$\tau_n^{(k)} := - \left(\frac{\beta_n^{(k-1)}}{\alpha_{n-1}^{(k)}} \tau_{n-1}^{(k)} Q_{n-1} + \frac{\alpha_n^{(k-1)}}{\beta_{n+1}^{(k-1)}} \tau_{n+1}^{(k-1)} R_{n+1} \right) P_n^{-1} \quad (n = 1, 2, \dots, N),$$

$$\alpha_n^{(k)} := \tau_n^{(k)} Q_n \quad (n=1, 2, \dots, N-1),$$

$$\beta_n^{(k)} := \tau_n^{(k)} R_n \quad (n=1, 2, \dots, N).$$

step. 3 (収束判定)

$$\|\tau_n^{(k)} - \tau_n^{(k-1)}\| < \varepsilon \quad (n=1, 2, \dots, N)$$

かゝりたはたば $k := k+1$ とし step 2 を繰り返す。

step 3' (収束判定... 流入・流出率の等価性の判定)

$$(1) \lambda \sum_k \rho_{0k} P\{k\text{-トに到着できる}\},$$

$$\sum_k \mu_k P\{k\text{-トで次に退去する客に対応サービス中}\}$$

の2つの値の誤差の範囲を等しいことを確かめる。

$$(2) \mu_k P\{k\text{-トがサービス中}\},$$

$$\sum_j \mu_j P\{j\text{-トで次に}k\text{-トへ進む客に対応サービス中}\}$$

の2つの値の誤差の範囲を等しいことを、ある k について確かめる。

step. 4 (分布の計算)

$$p_0 := \left\{ \sum_{n=0}^N \prod_{j=1}^n \frac{\beta_j^{(k)}}{\alpha_{j-1}^{(k)}} \right\}^{-1},$$

$$p_n := p_0 \prod_{j=1}^n \frac{\beta_j^{(k)}}{\alpha_{j-1}^{(k)}}, \quad (n=1, 2, \dots, N),$$

$$\pi_n := p_n \tau_n^{(k)}. \quad (n=0, 1, \dots, N).$$

このアルゴリズムが正常に働くことは、上の(3.3)式、(3.4)式(3.5)式から容易に示される。

なお、一回の反復 (step. 2) の計算量 (乗算の回数 α -
 β) は、

$$\frac{K}{2} (r_0 + \#(j: p_{j0} \neq 0)) \sum_n g(K, n-1) g(K, n)$$

である。但し、 $g(K, n)$ は $g(K, 0) = 1$ から単調に増加し、

$n = \frac{N}{2}$ 付近で最大になり、 n から単調に減少し、

$g(K, N) = r_1 r_2 \dots r_K$ となる。最大値 $\alpha - \beta$ は

$$r_1 r_2 \dots r_K N_1 N_2 \dots N_K$$

である。

4. 数値例

前節で提示されたアルゴリズムは FORTRAN 77 によってコー
 ード化され、FUJITSU M380 OS IV/F4 MSP を使って、この
 モデルについて試算された。プログラムステップ数は約
 500、使用メモリ量は、生成作用素の疎率 (一行あたりの非

$\lambda = 1.5$						
$(\mu_k) =$		(2,	1,	2,	1.5,	1)
$(N_k) =$		(3,	2,	3,	3,	2)
$(P_{jk}) =$		$\begin{bmatrix} 0 & 0.7 & 0.3 & 0 & 0 & 0 \\ 0 & 0 & 0.7 & 0.3 & 0 & 0 \\ 0 & 0 & 0 & 1 & 0 & 0 \\ 0.3 & 0 & 0 & 0 & 0.5 & 0.2 \\ 1 & 0 & 0 & 0 & 0 & 0 \\ 1 & 0 & 0 & 0 & 0 & 0 \end{bmatrix}$				

表.1 テスト計算のためのパラメータの値

零要素数) $\in S_p$, 整数型・実数型変数一つあたりのバイト数をそれぞれ I, R とした時

$$(I+R)(1+S_p) \sum_n g(K, n)$$

である。ここでは $I=4, R=8$ を用いた。

一つの数値例として、図1のモデルを用いて試算した結果について述べる。テスト計算に用いられたモデルのパラメータは表1の通りである。

方程式は2520次元となり、精度を 10^{-9} とした時の計算時間は3.9秒であった。Aの各小行列の次元、すなわち $g(K, n)$ の値は

$$(g(K, n))_n = (1, 8, 32, 88, 183, 302, 407, 452, 416, 314, 191, 90, 30, 6),$$

Aの非0要素の数は18675、したがって一行あたりの非0要素の平均個数は7.4である。また、 N_5 を1から9まで1きりおきで変化させたモデルについて、方程式の次元、計算時間

N_5	dim.	time	sparsity
1	1680	2.2 sec.	7.1
2	2520	3.9	7.4
3	3360	6.3	7.6
4	4200	9.6	7.6
5	5040	13.0	7.7
6	5880	16.6	7.7
7	6720	20.3	7.8
8	7560	24.2	7.8
9	8400	27.8	7.8

表.2 待ら合の容量とモデルの規模

一行あたりの平均非0要素数は表.2 のようにば, た。なお、計算時間は精度の対数と大体線形関係にあった。

次に各ノードの待ち合、室容量とフロー特性の関係についていくつか調べてみる。容量がどれぐらいあれば無限待ちモデルと見做せるか、を知るのが主な目的である。各ノードごと別々に、他の条件を一定にして、 N_k を1から9まで変化させて種々の特性の変化を調べる。以下のグラフで、欄外に(1), (2), ... とあるのは、それぞれ N_1, N_2, \dots を変化させるという意味である。

(1) 損失確率 (図2)

ノード1のバッファ効果が最も高く、 $N_1=9$ としてもまだ有限であることが無視できないことを示している。一方、ノード4, 5では待ち合

室容量がそれぞれ5, 2 ともあれば、無限にある場合と殆んど変わりないので、ノード1, 2 あるいは3における混雑現象の解析は、それから3つのノードは4からなる、より小

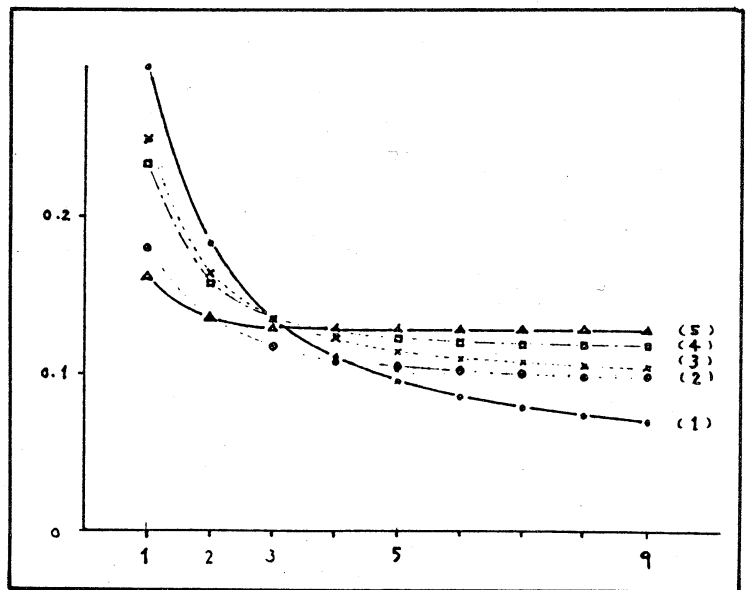


図.2 損失確率

さいモデルで解析しても
 良い近似が得られること
 が期待できる。

(ロ) 流出率 (図3)

すべての N_k を ∞ にし
 t 時の流出率と比較する
 と、ノード 2 については
 $N_2 = 7$ を超えると ∞ の場
 合 (→ を示す) と同じに
 なっている。ノード 1, 2

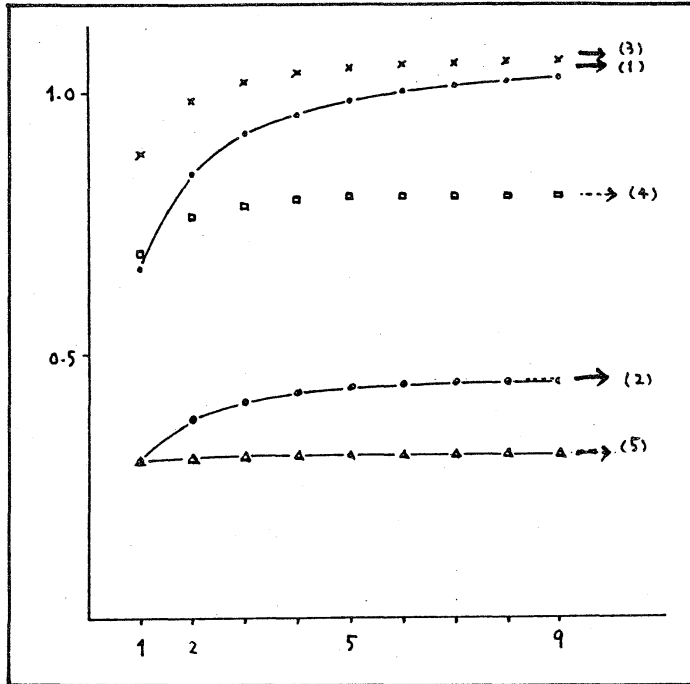


図.3 流出率

およひるた4からなるモデル
 の損失確率を 0.12 とした
 時 (図.2 参照), N_4, N_5 だ
 けを ∞ にした時の最大流出
 率は, すべての N_k を ∞ に
 した時の値に 0.88 を乗じ
 たものになるが, それぞれ
 $N_4 = 4, N_5 = 2$ を超えると
 この値 (---→ を示す) に収束
 している。

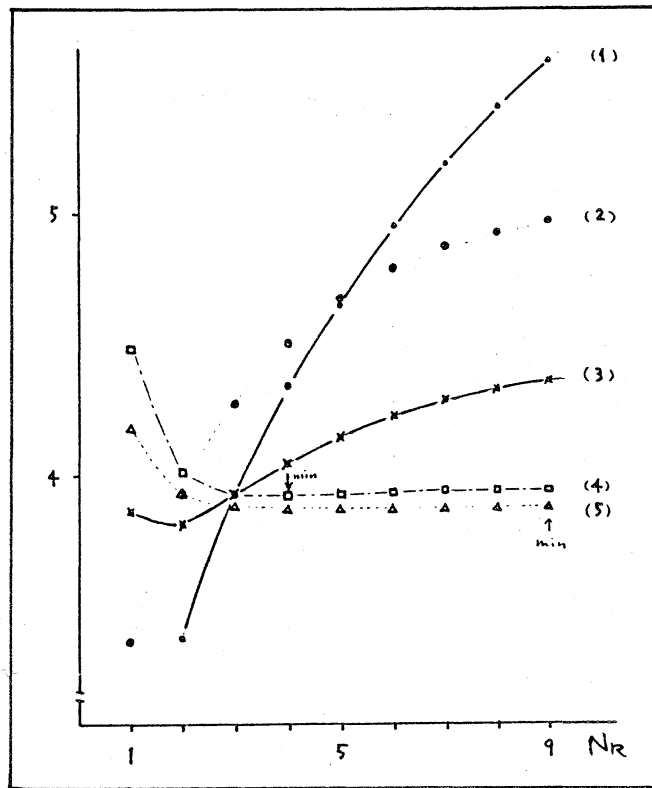


図.4. 平均系内容数

(1) 平均系内容数(図4)

N_1, N_2 に関し単調増加であるが、 N_3, N_4 に関しては、それぞれ $N_3=2, N_4=4$ に最小値がある。U型である。 N_5 に関しては単調減少であるが、 $N_5 \geq 4$ 以降は一定の値になる。

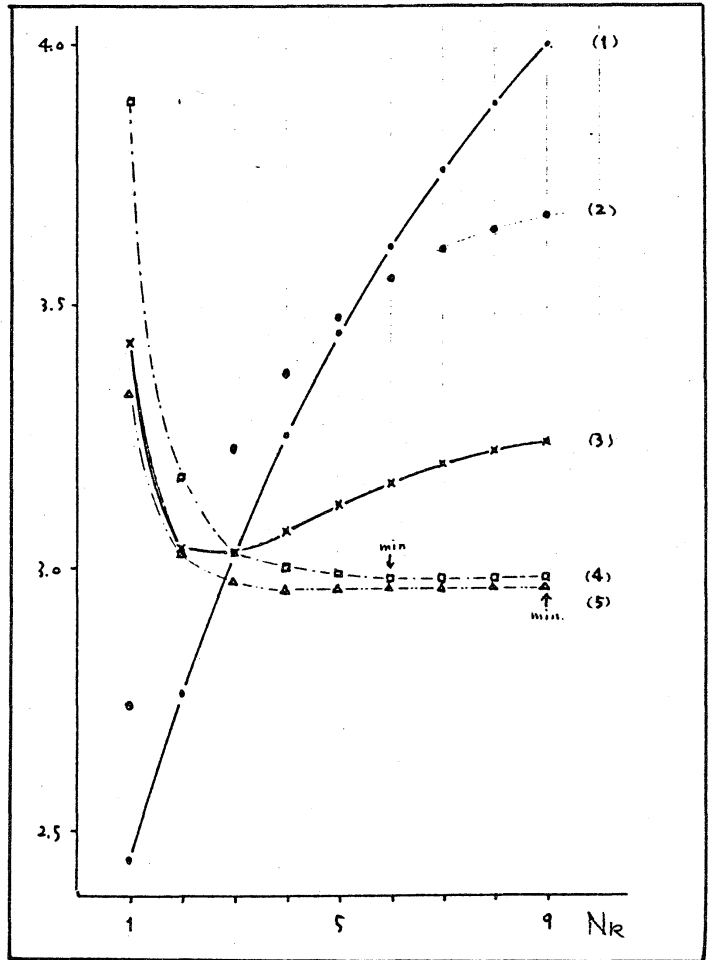


図5 平均滞在時間

(2) 平均滞在時間(図5)

$L = \lambda W$ の関係式が成り立つので平均系内容数と同じ傾向を示す。

N_3, N_4 に関しては、その最小値をとる値は $N=3$ と $N=4$ である。

5. 近似式との比較

Takahashi et al. (1980) によつて、2次元型のモデルの近似式が提案されている。同時多発的はブロックを無視した時、サービス時間とブロックされる時間との和の期待値のみならず、なければならぬ方程式系を考へ、その解を各ノードの平均サービス時間とみなして種形式解を計算することによつて、2

フローの確率と計算するにせよしに近似値を求めようというものである。こゝで扱っているモデルと異なる点はフローの方式で、サービス終了後は先のノード一杯ならば、その

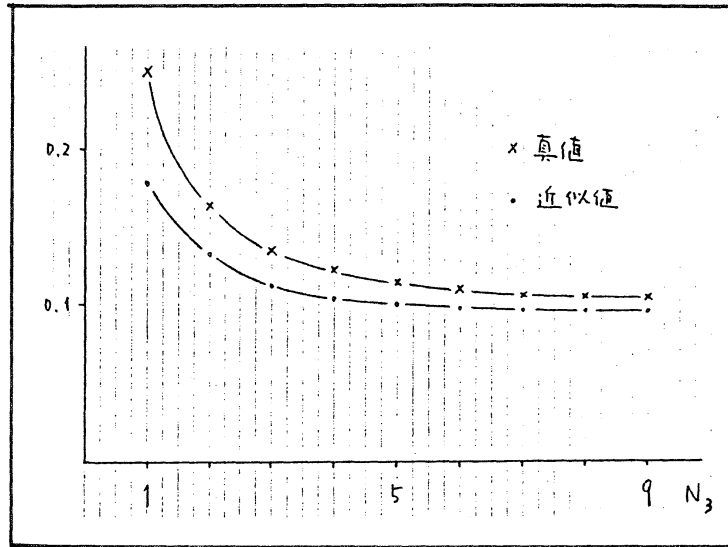


図6. 損失確率

の時点で窓口をフローするといふ点である。表1のモデルで、N₃が4を1から9にかえた時の損失確率と平均滞在時間について、真値と近似値を比較したのが図6と図7

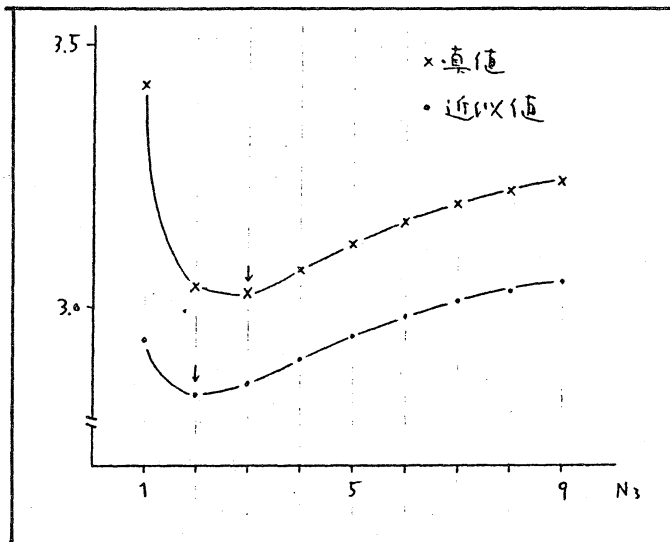


図7. 平均滞在時間

である。近似はあまり良いとは言えないが、定性的には原モデルを良く説明していると言える。

参考文献

- Baskett, F., Chandy, K.M., Muntz, R.R. and Palacios, F.G. (1975) Open, closed and mixed networks of queues with different classes of customers. JACM 22.2, 248-260.
- Hunt, G.C. (1956) Sequential arrays of waiting lines. OR 4, 674-683.
- Jackson, J.R. (1963) Jobshop-like queueing systems. MS 10.1, 131-141.
- Takahashi, Y., Miyahara, H. and Hasegawa, T. (1980) An approximation method for open restricted queueing networks. OR 28.3, 594-602.
- Takahashi, Y. and Takami, Y. (1976) A numerical method for the steady-state probabilities of a GI/G/c queueing system in a general class. JORSJ 19.2, 147-157.